

اثر موقعیت پایه پل استوانه‌ای بر عمق آبستنگی

در قوس ۱۸۰ درجه رودخانه‌ها

علیرضا مسجدی^{۱*}، حسین کاظمی^۲ و امین مرادی^۲

(تاریخ دریافت: ۱۳۸۷/۱۰/۲۵؛ تاریخ پذیرش: ۱۳۹۰/۲/۲۴)

چکیده

در این تحقیق برای بررسی عمق آبستنگی در اطراف پایه پل در قوس رودخانه، آزمایش‌هایی در یک فلوم آزمایشگاهی با قوس ۱۸۰ درجه با $Rc/B=4/7$ و از جنس پلاکسی گلاس انجام پذیرفت. بدین منظور با قرار دادن یک پایه استوانه‌ای به قطر ۶ سانتی‌متر در فلوم با ۴ دبی و عمق ثابت ۱۲ سانتی‌متر پدیده آبستنگی حول پایه در حالت آب زلال بررسی شد. برای مصالح کف فلوم از ماسه طبیعی استفاده شد. نتایج این تحقیق نشان داد که حداقل عمق آبستنگی هنگام نصب پایه استوانه‌ای در طول قوس متفاوت بوده و در موقعیت ۶۰ درجه بیشترین آبستنگی در اطراف پایه ایجاد می‌شود. همچنین با افزایش دبی جریان در کلیه موقعیت‌ها، عمق آبستنگی نیز افزایش یافت.

واژه‌های کلیدی: آبستنگی موضعی، پایه پل، قوس ۱۸۰ درجه، جریان ثانویه، آبستنگی آب زلال

۱. استادیار مهندسی آب، دانشگاه آزاد اسلامی واحد اهواز

۲. به ترتیب دانشجوی سابق کارشناسی ارشد و کارشناس ارشد سازه‌های آبی، دانشگاه آزاد اسلامی واحد علوم و تحقیقات خوزستان
* : مسئول مکاتبات، پست الکترونیکی: drmasjedi2007@yahoo.com

بویج (۳) یک مدل عددی برای قوس 180° درجه به روش گردابهای بزرگ برای یک خم بسیار ملائم ارائه داد. نتایج این تحقیق نشان داد جریان ثانویه باعث می‌شود که حداکثر سرعت بیشتر از حالت عادی به بستر نزدیک شود و همین پدیده باعث افزایش آبستستگی موضعی در محل دیواره خارجی می‌شود.

صفرزاده و گندشمنی (۲) تحقیقی در خصوص الگوی جریان در قوس 180° درجه، توزیع سرعت طولی و عرضی، نحوه شکل‌گیری جریان ثانویه و قدرت آن و تنش برشی بستر و دیواره انجام داد. نتایج آزمایشگاهی آنها نشان داد بیشترین توزیع سرعت در زاویه 60° درجه به دلیل قدرت بالای جریان‌های ثانویه ایجاد می‌گردد.

امامی و همکاران (۱) آزمایش‌هایی روی آبستستگی اطراف پایه استوانه‌ای درون قوس 180° درجه در حالت آب زلال انجام دادند. نتایج تحقیق آنها نشان داد با افزایش دبی عمق حداکثر آبستستگی در زمان تعادل و نیز ابعاد حفره افزایش می‌یابد. هم‌چنین پشتۀ حاصل از آبستستگی در اثر افزایش دبی گسترشده‌تر شده و به دیواره داخلی نزدیک‌تر می‌شود.

بر اساس مطالعات انجام شده توسط ریچاردسون و دیویس (۱۴)، رادکیوی و اتما (۱۲) و لاگاس و ریچاردسون (۸) پدیده آبستستگی در اطراف پایه تحت تأثیر عواملی از جمله هندسه مجراء، دبی جریان، عمق جریان، قطر پایه، شتاب ثقل خصوصیات مصالح بستر، زاویه قرارگیری پایه نسبت به جریان، شکل پایه و خواص سیال قرار دارد. اصولاً پل‌ها در بازه‌ای از رودخانه احداث می‌شوند که رودخانه پایدارتر باشد. در این مسیر، ممکن است به علت محدودیت‌های احداث راه و یا عدم پایداری رودخانه در بازه‌های مستقیم، اقدام به احداث پل در قوس رودخانه شود. به دلیل تفاوت در الگوی جریان در موقعیت‌های مختلف در قوس 180° درجه، در این تحقیق اقدام به بررسی اثر الگوی جریان در آبستستگی اطراف پایه استوانه‌ای در موقعیت‌های مختلف در قوس 180° درجه شد (۲).

مقدمه

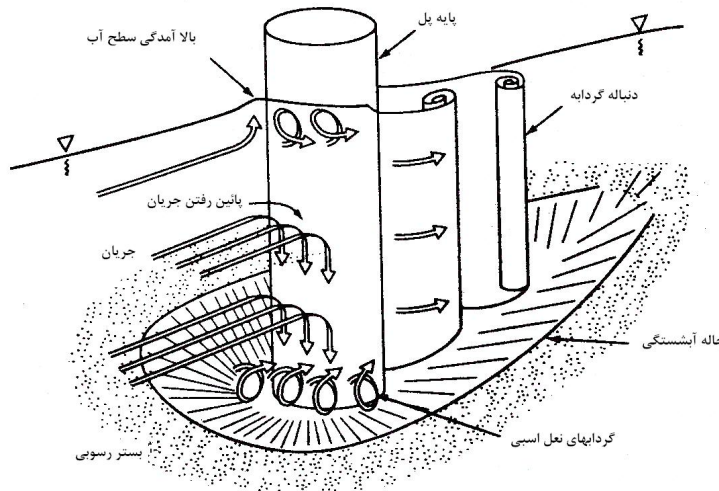
پل‌ها از جمله مهم‌ترین و پر کارترین سازه‌های رودخانه‌ای هستند که در راهسازی از اهمیت زیادی برخوردار هستند. هر ساله با وقوع سیلاب در هر رودخانه تعداد زیادی از این پل‌ها درست زمانی که بیشترین نیاز به آنها وجود دارد، تخریب می‌شوند. یکی از مؤثرترین عوامل این تخریب‌ها آبستستگی موضعی اطراف پایه‌ها در قوس رودخانه است.

بر اساس مطالعات انجام گرفته دو عامل مهم باعث فرسایش در اطراف پایه پل می‌شود. یکی برخورد جریان به پایه و دیگری جدا شدن جریان از پایه. در اثر برخورد جریان به پایه گرداب‌های نعل اسی شکل می‌گیرد. به اعتقاد محققین گرداب نعل اسی اساسی ترین نقش را در فرآیند آبستستگی ایفا می‌نمایند. حفر گودال آبستستگی توسط گرداب نعل اسی آنقدر ادامه می‌یابد تا حجم آب درون حفره آبستستگی زیاد شده و انرژی گرداب را مستهلك کند. در این حالت عمق آبستستگی به حالت تعادل می‌رسد (۱۳). شکل ۱ نمونه‌ای از جریان آشفته و گرداب‌هایی را که باعث آب شستگی موضعی و حفره می‌گردند را نشان می‌دهد.

پیچیدگی شرایط الگوی جریان در قوس همراه با پیچیدگی جریان حول پایه استوانه‌ای شرایط الگوی جریان حول پایه در قوس را بیشتر می‌سازد. راودکیوی و اتما (۱۲)، چیو و ملویل (۵)، دارگاهی (۶)، بریوسرس و راودکیوی (۴)، الیتو و هاگر (۱۱) و ملویل و چیو (۹) و تحقیقاتی درباره آبستستگی پایه پل در آبراهه مستقیم انجام داده‌اند.

آپن و درینکر (۷) توزیع سرعت در قوس منظم و با مقطع ذوزنقه‌ای را بررسی کردند. مشاهدات آنها نشان داد که حداکثر سرعت با توجه به مشخصه‌های مدل فیزیکی آنها در کناره داخلی ورودی رخ می‌دهد و سپس توزیع سرعت در عمق به سمت یک‌نواخت شدن میل می‌کند و در زاویه 60° سرعت حداکثر به طرف قوس خارجی حرکت می‌کند.

اثر موقعیت پایه پل استوانه‌ای بر عمق آبستگی ...



شکل ۱. الگوی جریان و حفره آبستگی موضعی اطراف یک پایه پل استوانه‌ای

ریپل قطر متوسط ذرات باید از 7° میلی‌متر بزرگ‌تر باشد. هم‌چنین برای حذف اثر اندازه رسوبات روی عمق آبستگی نسبت قطر پایه به متوسط ذرات باید کمتر از 50° باشد (۵). در همین راستا راودکیوی و اتما (۱۲) این نسبت را $25-30^{\circ}$ پیشنهاد نمودند. با توجه به این موارد یک لایه از ماسه طبیعی رودخانه‌ای با قطر متوسط معادل ۲ میلی‌متر و انحراف استاندارد معادل $1/7$ انتخاب و در لایه‌ای به ضخامت تقریبی 20° سانتی‌متر برای انجام آزمایش‌ها استفاده شد.

اليتو و هاگر (۱۱) برای جلوگیری از آثار زبری، عمق آب را بیشتر از 20° میلی‌متر پیشنهاد نمودند که در کلیه آزمایش‌ها عمق آب ثابت و برابر 12° سانتی‌متر در نظر گرفته شد. با توجه به این‌که آبستگی موضعی در شرایط آب زلال بررسی شد بنابراین به منظور جلوگیری از فرسایش و انتقال رسوبات در بالادست پایه استوانه‌ای، سرعت متوسط جریان کمتر از سرعت بحرانی ($u_c < u$) در نظر گرفته شد.

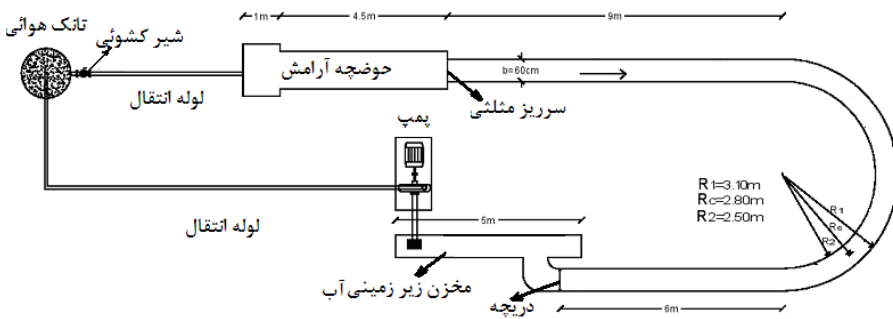
به منظور بررسی تأثیر دبی روی آبستگی 4° دبی 24° ، 28° و 32° لیتر بر ثانیه برای آزمایش بر روی پایه پل در شرایط زیر بحرانی در موقعیت‌های صفر، 30° ، 60° ، 90° ، 120° ، 150° و 180° درجه در نظر گرفته شد که توسط سرریز مثلثی

مواد و روش‌ها

به منظور بررسی آبستگی اطراف پایه پل استوانه‌ای در قوس رودخانه، یک مدل فیزیکی تهیه شد. آزمایش‌ها در یک فلوم شیشه‌ای قوسی شکل با زاویه مرکزی 180° درجه، شعاع مرکزی $Rc = 2/8m$ و عرض $B = 6/6m$ انجام شد. انحنای نسبی قوس $Rc/B = 4/7$ بوده که قوس را در رده قوس‌های ملایم قرار می‌دهد. کanal مستقیم و رویدی به طول $1/9$ متر به یک کanal با قوس 180° درجه متصل می‌گردد. این کanal قوسی شکل توسط کanal مستقیم دیگری به طول $5/5$ متر به دریچه کنترل عمق جریان و سپس مخزن خروجی متصل شد (شکل ۲). کلیه آزمایش‌ها در یک فلوم آزمایشگاهی واقع در زمین دانشگاه آزاد اسلامی واحد اهواز انجام شد.

در کلیه آزمایش‌ها برای از بین رفتن تأثیر دیواره‌های کanal بر آبستگی موضعی، طبق توصیه‌های چیو و ملویل (۵) قطر پایه باید از 10° درصد عرض کanal بیشتر باشد. هم‌چنین راودکیوی و اتما (۱۲) پیشنهاد کردند که نسبت قطر پایه به عرض کanal باید حداقل $6/25$: 1 باشد بنابراین برای مدل کردن پایه باید از 6° میلی‌متر از جنس پلاستیک مورد استفاده شد.

به توصیه راودکیوی و اتما (۱۲) برای جلوگیری از تشکیل



شکل ۲. پلان کanal قوسی شکل

توپوگرافی بستر در اطراف پایه استوانه‌ای در موقعیت‌ها و دبی‌های مختلف برداشت شد. به منظور بررسی دقیق تغییرات ایجاد شده در بستر در امتداد عرضی فاصله نقاط برداشت ۲ سانتی‌متر و در امتداد طولی با توجه به موقعیت ۲ سانتی‌متر در نظر گرفته شد. در مجموع کل نقاط برداشت شده برای ۲۴ آزمایش در طول تمام آزمایش‌ها جهت تشکیل شبکه توپوگرافی بستر و جزئیات آن ۱۶۰۰ نقطه بود.

نتایج و بحث

در کلیه آزمایش‌ها پس از تنظیم دبی و عمق جریان، بلافارسله در اطراف پایه گردابه‌ها تشکیل و آبستنگی با سرعت بسیار بالا آغاز گردید. با شکل‌گیری حفره آبستنگی رسوبات‌های برخاسته از حفره به سمت پایین دست منتقل شدند.

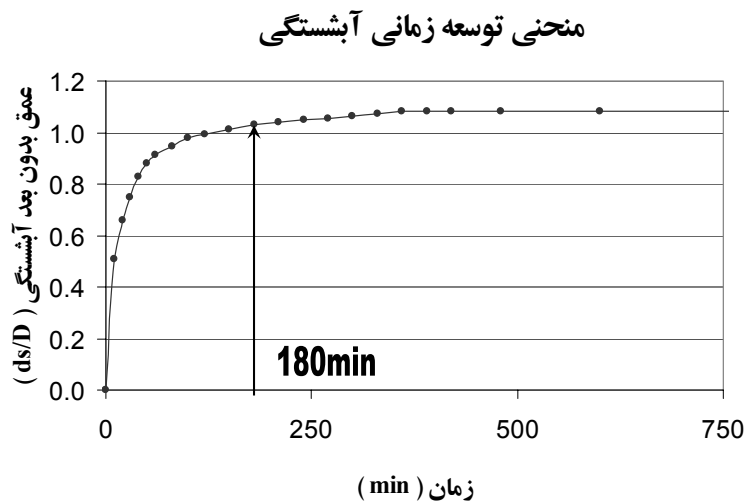
پس از مدتی از شروع آزمایش، رسوبات‌های برخاسته از حفره آبستنگی به محدوده‌ای رسیدند که تأثیر پایه بر آن محدوده کاهش یافته و اثر گردابه‌های نعل اسبی پشت پایه ناچیز می‌شد. در این وضعیت رسوبات‌های انتقالی از حفره آبستنگی تحت تأثیر جریان ثانویه به سمت جداره داخلی منتقل می‌شود و تعداد دو و یا بیشتر شیار کوچک در جداره داخلی تشکیل شد (شکل ۴).

۱. تأثیر موقعیت پایه بر آبستنگی اطراف آن
در موقعیت‌های مختلف در قوس، نصب پایه پل در موقعیت‌های مختلف هم بر توپوگرافی بستر و هم بر حداکثر

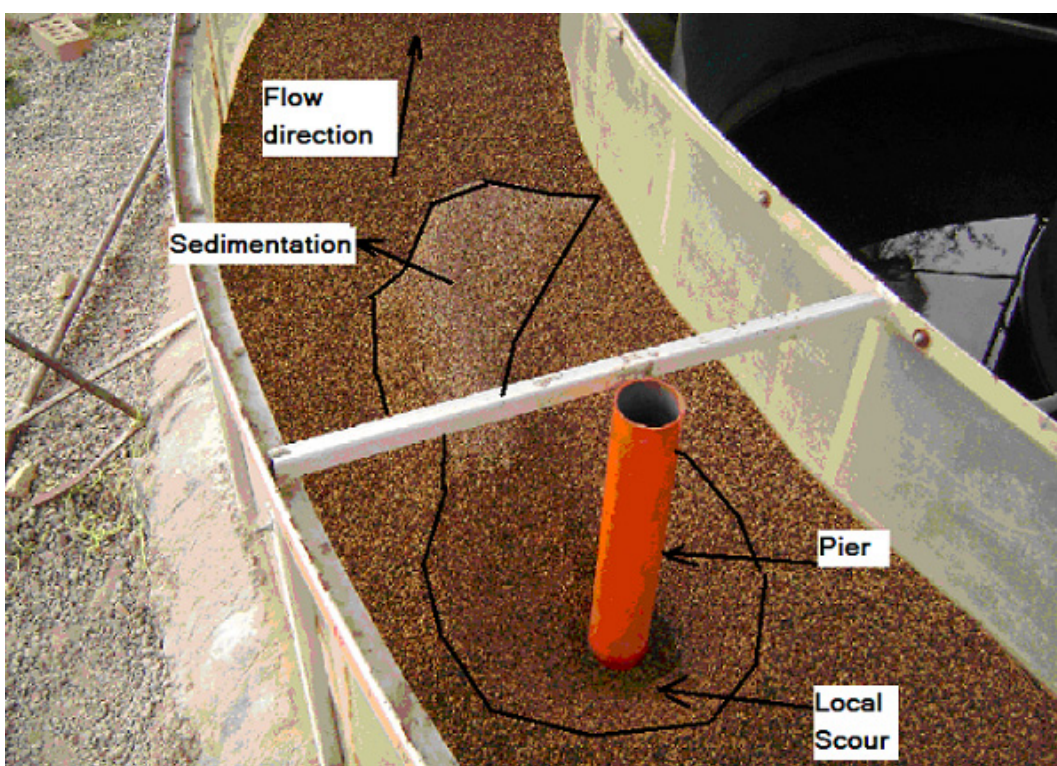
درجه در ابتدای ورودی فلوم اندازه‌گیری شدند. این دبی‌ها به ترتیب سرعت نسبی (u/u_c) ۰/۸۶، ۰/۹۳ و ۱ را دارا بودند. برای محاسبه زمان تعادل آزمایش‌ها، یک آزمایش طولانی به مدت ۱۰ ساعت بر روی پایه پل با دبی‌های ۳۲، ۳۰ و ۲۸ مدت ۳ ساعت انجام شد. با توجه به شکل ۳ لیتر بر ثانیه در موقعیت ۶۰ درجه انجام شد. با توجه به شکل ۳ دیده شد که در ۳ ساعت اول تقریباً ۹۰ درصد آبستنگی در دبی‌های مختلف رخ می‌دهد که با نتایج ملویل و چیو مطابقت داشت (۱۰). بنابراین در کلیه آزمایش‌ها، زمان آزمایش ۳ ساعت در نظر گرفته شد.

برای انجام آزمایش‌ها، ابتدا پایه استوانه‌ای در موقعیت مورد نظر نصب شد. سپس رسوبات کف، توسط ارابه متحرک به طور یکسان در جهت طولی و عرضی در فلوم در سراسر فلوم گسترانده شد. پیش از راه اندازی پمپ، دریچه انتهایی بسته و سپس آب زلال به آرامی به درون کanal هدایت شد. پس از بالا آمدن آب و اطمینان از مرطوب شدن رسوبات بعد از گذشت چند ساعت، پمپ با دبی کمی راهاندازی شد و به آرامی توسط شیر فلكه اصلی روی لوله ورودی به حوضچه آرامش، دبی به میزان مورد نظر رسانده شد. با تنظیم دقیق و هم‌زمان شیر فلكه و دریچه پایین دست عمق جریان ۱۲ سانتی‌متر و دبی مورد نظر حاصل شد.

پس از گذشت ۳ ساعت، پمپ خاموش شد و آب موجود در کanal به آرامی زهکشی شد تا تأثیری روی توپوگرافی بستر ایجاد نشود. پس از گذشت چند ساعت و تخلیه کامل آب از درون کanal، به وسیله عمق‌سنجد با دقت صدم میلی‌متر،



شکل ۳. زمان تعادل در موقعیت ۶۰ درجه با دبی های مختلف

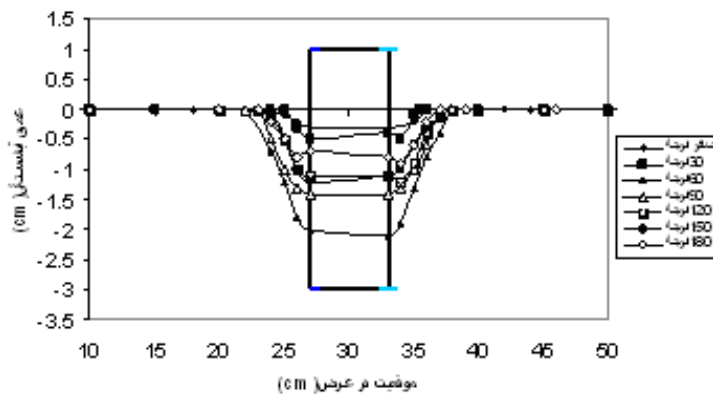


شکل ۴. فرو افتادگی و رسوب گذاری در پایین دست پایه به دلیل انحراف جریان

می‌دهند. پروفیل‌های عرضی نشان می‌دهند حداکثر عمق آبشتگی هنگام نصب پایه استوانه‌ای در طول قوس مختلف بوده و بیشترین مقادیر عمق آبشتگی در کلیه دبی‌ها به ترتیب در موقعیت‌های ۶۰، ۹۰، ۱۲۰، ۱۵۰، ۱۸۰، ۱۲۰، ۹۰، ۶۰ و صفر درجه

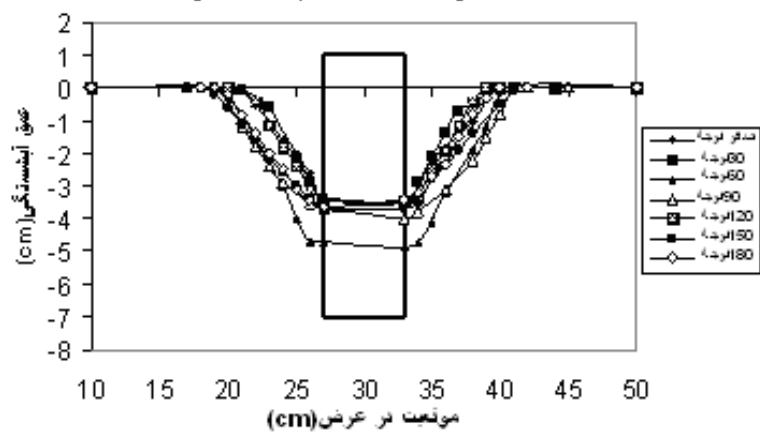
آبشتگی در اطراف آبشکن تأثیر قابل ملاحظه‌ای داشت. شکل ۵ پروفیل‌های عرضی تک پایه استوانه‌ای در موقعیت‌های صفر، ۳۰، ۶۰، ۹۰، ۱۲۰، ۱۵۰ و ۱۸۰ درجه برای دبی‌های ۸، ۲۴ و ۳۲ لیتر بر ثانیه که دارای حداکثر آبشتگی است نشان

دبی 24 لیتر بر ثانیه - برووفیل عرضی



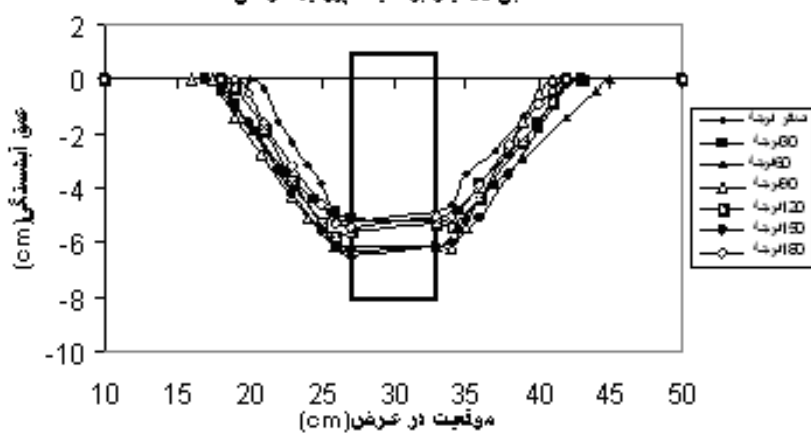
(الف)

دبی 28 لیتر بر ثانیه - برووفیل عرضی

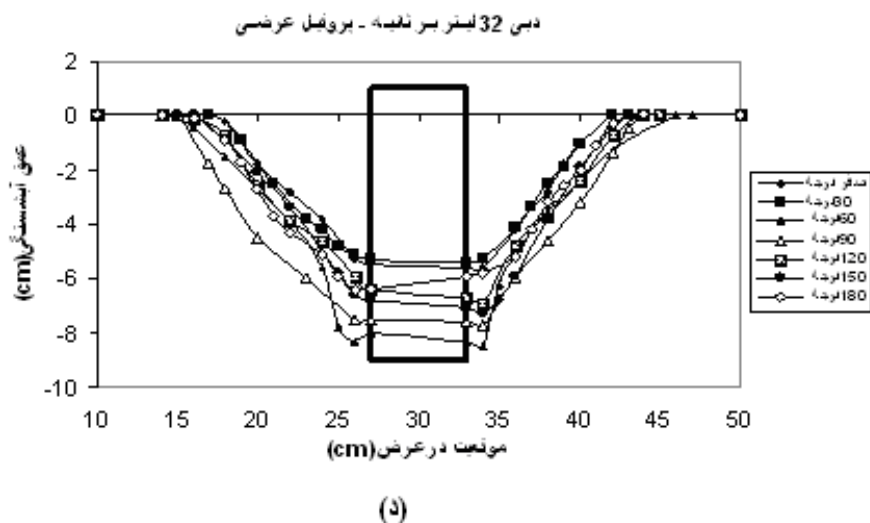


(ب)

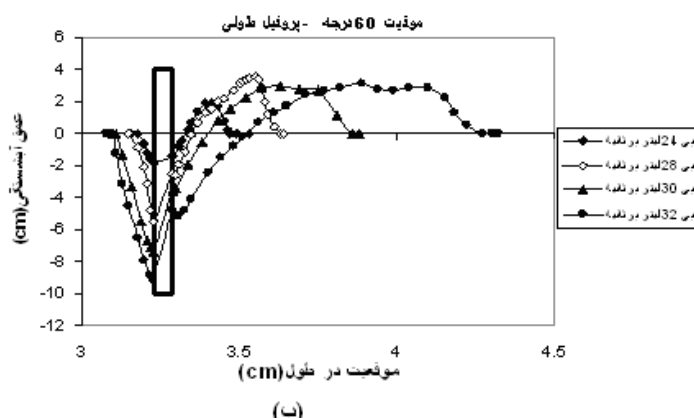
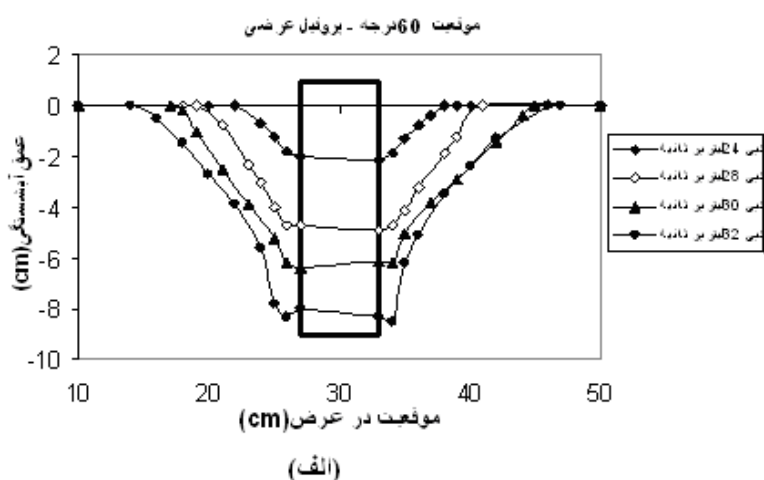
دبی 30 لیتر بر ثانیه - برووفیل عرضی



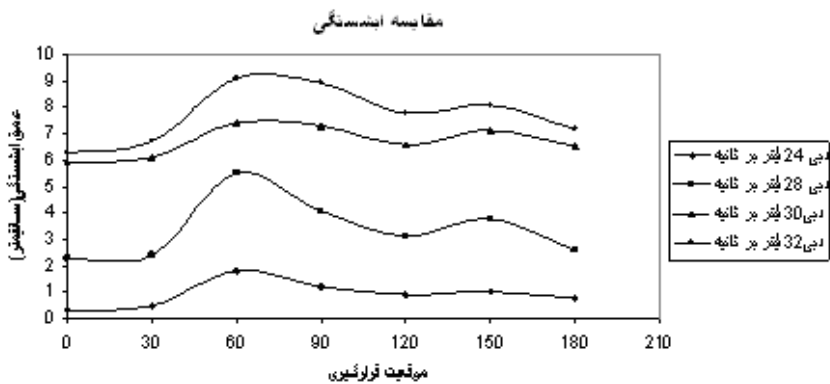
(ج)



شکل ۵ . پروفیل عرضی حداکثر عمق آبستگی در موقعیت‌های مختلف و دبی‌های ۲۴، ۲۸، ۳۰ و ۳۲ لیتر بر ثانیه



شکل ۶ . پروفیل‌های طولی و عرضی حداکثر آبستگی در موقعیت ۶۰ درجه با دبی‌های مختلف



شکل ۷. تغییرات آبستستگی نسبی دماغه پایه پل در موقعیت و دبی‌های مختلف

بیشترین عمق آبستستگی در این موقعیت شد.

۳. تغییرات عمق آبستستگی نسبت به دبی جریان و موقعیت پایه استوانه‌ای در قوس

به منظور بررسی هم‌زمان اثر دبی جریان و موقعیت پایه استوانه‌ای در قوس تغییرات عمق آبستستگی بر حسب موقعیت پایه استوانه‌ای در قوس برای چهار دبی جریان آزمایش و ترسیم شد. با توجه به شکل ۷ مشاهده می‌شود که حداکثر عمق آبستستگی اطراف آشکن با دبی جریان و نیز موقعیت پایه استوانه‌ای ارتباط مستقیم داشته و با افزایش زاویه استقرار پایه و نیز افزایش دبی عمق آبستستگی افزایش می‌یابد. هم‌چنین با توجه به شکل می‌توان نتیجه گرفت در کلیه آزمایش‌ها بیشترین میزان آبستستگی در موقعیت ۶۰ درجه بوده که بیان کننده قدرت بالای جریان‌های ثانویه در این موقعیت است (۱، ۲ و ۷).

نتیجه گیری

در این تحقیق آزمایش‌ها برای تعیین آبستستگی در پایه استوانه‌ای، مستقر در قوس ۱۸۰ درجه انجام گرفت. متغیرهای مؤثر در این تحقیق موقعیت پایه در قوس و دبی جریان بود. نتایج این تحقیق نشان داد با افزایش دبی جریان، آبستستگی بیشینه زیاد شده و آبستستگی در اطراف پایه در طول قوس مختلف است. هم‌چنین نتایج نشان داد حداکثر عمق آبستستگی

اتفاق افتاد. تحقیقات انجام شده توسط بوجیج (۳)، صفرزاده (۲) و امامی و همکاران (۱) نشان دادند که توزیع سرعت و قدرت جریان‌های ثانویه در طول قوس ۱۸۰ درجه مختلف بوده که در نتیجه آن عمق آبستستگی نیز در طول قوس مختلف خواهد شد.

۲. تغییرات عمق آبستستگی نسبت به دبی جریان در قوس شکل ۶ پروفیل‌های طولی و عرضی پایه استوانه‌ای در موقعیت ۶۰ درجه با حداکثر آبستستگی برای چهار دبی ۲۴، ۳۰، ۳۲ لیتر بر ثانیه را نشان می‌دهد. با توجه به شکل ۵ می‌توان نتیجه گرفت شکل کلی تپوگرافی بستر برای هر چهار دبی تقریباً شبیه یکدیگر بوده ولی ابعاد و عمق چاله آبستستگی با کاهش دبی جریان، کاهش و طول پشتہ رسوبی در پایین دست پایه استوانه‌ای، به دلیل قدرت بالای گرداب‌های برخاستگی، با افزایش دبی افزایش پیدا می‌کند. هم‌چنین پروفیل عرضی نیز نشان می‌دهد که بین عمق آبستستگی و دبی جریان در مسیر قوسی شکل رابطه مستقیمی وجود دارد و با افزایش دبی جریان، عمق آبستستگی افزایش می‌یابد. نتایج آزمایشگاهی آیینه و درینکر (۷)، صفرزاده (۲) و امامی و همکاران (۱) در خصوص الگوی جریان در قوس ۱۸۰ درجه نشان داد بیشترین توزیع سرعت در زاویه ۶۰ درجه به دلیل قدرت بالای جریان‌های ثانویه ایجاد می‌شود که در نتیجه باعث ایجاد

سپاسگزاری

در هنگام نصب یک پایه استوانه‌ای با قطر ۶۰ میلی‌متر در موقعیت ۶۰ درجه در قوس ۱۸۰ درجه ایجاد شد.
از همکاری مسئولین محترم دانشگاه آزاد اسلامی واحد اهواز به منظور فرار دادن امکانات، تسهیلات و کمک‌های مالی در این تحقیق تشکر و قدردانی می‌شود.

منابع مورد استفاده

۱. امامی، ی.، م. میر باقری، ا. ا. دهقانی و م. قدسیان. ۱۳۸۵. "آبستنگی اطراف پایه استوانه‌ای شکل در یک قوس ۱۸۰ درجه. هفتمین سمینار بین‌المللی رودخانه، دانشگاه شهید چمران اهواز.
۲. صفرزاده گندشمنی، ا. ۱۳۸۳. شبیه‌سازی الگوی جریان در آبگیری جانبی از قوس ۱۸۰ درجه. پایان‌نامه کارشناسی ارشد، دانشگاه تربیت مدرس، تهران.
3. Booij, R. 2003. Measurements and large eddy simulations of some curved flumes. *J. Turbul.* 4:1-17.
4. Breusers, H.N.C. and A.J. Raudkivi. 1991. Scouring, Hydraulic Structure Design Manual. No.2, IAHR, Balkema, PP. 143.
5. Chiew, Y.M. and B.W. Melville. 1987. Local scour around bridge piers. *J. Hydraul. Res.* 25(1): 15-26.
6. Dargahi, B. 1987. Controlling mechanism of local scouring. *J. Hydraul. Eng. ASCE* 116 (10):1197-1214.
7. Ippen, A.T. and P. Drinker. 1962. Boundary shear stress in curved trapezoidal channels. *J. Hydraul. Div.* 88(HY5).
8. Lagasse, P.F. and E.V. Richardson. 2001. ASCE compendium of stream stability and bridge scour papers. *J. Hydraul. Eng. ASCE* 127(7): 531-533.
9. Melville, B.W. and Y.M. Chiew. 1999. Time scale for local scour depth at bridge piers. *J. Hydraul. Eng. ASCE* 125(1):59-65.
10. Melville, B.W. and S.E. Coleman. 2002. Bridge Scour. Water Resour. Pub. LLC, Colorado, USA.
11. Oliveto, G. and W.H. Hager. 2002. Temporal evolution of clear-water pier and abutment scour. *J. Hydraul. Eng. ASCE* 128 (9): 811-820.
12. Raudkivi, A.J. and R. Ettema. 1983. Clear-water scour at cylindrical piers. *J. Hydraul. Eng. ASCE* 109(3):339-350.
13. Raudkivi, A.J. 1998. Loose Boundary Hydraulics. 4th ed., Rotterdam , Brookfield, Balkema, VT. 496 p.
14. Richardson, E.V. and S.R. Davies. 1995. Evaluating scour at bridges. Rep. No. FHWAIP- 90-017 (HEC 18), Federal Administration, U.S. Department of Transportation, Washington, D.C.